# 3.2 Ions colorés

#### ▲ Problèmes q, Basdevant p.151

Certains pigments sont constitués d'ions moléculaires linéaires le long desquels les électrons se déplacent librement. Nous considérons ici un ion moléculaire linéaire de formule  $(C_nH_{n+2})^-$  avec n impair (obtenu à partir de molécules de polyéthylène à nombre pair d'atomes de carbone en enlevant un groupement  $(CH)^+$ ). Les n+1 électrons  $\pi$  sont donc délocalisés dans toute la molécule :

$$(CH_2 \cdots CH \cdots CH \cdots CH \cdots CH_2)^-$$

La distance C-C étant de d = 140 pm, on suppose que les électrons délocalisés se déplacent indépendamment les uns des autres dans un puits de potentiel 1D infini de longueur  $L_n = nd$ :

$$V(x) = \begin{cases} +\infty & \text{si } x < 0 \text{ ou } x > L_n \\ 0 & \text{si } 0 \leqslant x \leqslant L_n \end{cases}$$

Les niveaux d'énergie des électrons de cet ion sont donnés par l'équation 3 :

$$\epsilon_k = \frac{\pi^2 \hbar^2 k^2}{2mL_n^2}$$

Ce qui donne un niveau d'énergie du fondamental<sup>2</sup> (en tenant compte du principe de Pauli) :

$$E_0 = \sum_{k=1}^{(n+1)/2} \epsilon_k = \frac{\pi^2 \hbar^2}{24mL_n^2} (n+1)(n+2)(n+3)$$

Et un premier état excité:

$$E_1 = E_0 + \frac{\pi^2 \hbar^2}{8mL_n^2} \left[ (n+3)^2 - (n+1)^2 \right]$$

Soit une énergie de transition :

$$h\nu = E_1 - E_0 = \frac{\pi^2 \hbar^2}{2mL_n^2} (n+2)$$

Donnant une longueur d'onde :

$$\lambda = \frac{c}{\nu} = \frac{2mc{L_n}^2}{\pi^2\hbar^2(n+2)} = \frac{8mcd^2}{h^2}\frac{n^2}{n+2}$$

|                       | n=9 | n=11 | n=13 |
|-----------------------|-----|------|------|
| $\lambda$ tabulé (nm) | 470 | 600  | 730  |
| $\lambda$ modèle (nm) | 476 | 602  | 728  |

#### Remarques:

- Pour  $n \leqslant 7$ , les ions sont non colorés car dans l'UV et pour  $n \geqslant 15$  dans l'IR.
- Le puits de potentiel infini est une approximation raisonnable puisque les électrons sont délocalisés sur toute la molécule mais ne peuvent pas en sortir. On devrait en toute rigueur choisir  $L_n = (n-1)d + 2b$  où b représente les effets de bords.

## 3.3 La molécule d'ammoniac

## ▲ Méca q, Basdevant p.92

La molécule d'ammoniac  $NH_3$  a la forme d'une pyramide dont l'atome d'azote occupe le sommet et les trois atomes d'hydrogène la base. Son énergie potentielle peut être approximée par un puits double à une dimension. Soit P le plan des trois hydrogènes, D la perpendiculaire à P passant par l'atome d'azote et, sur D, x l'abscisse de P par rapport à l'azote pris comme origine.

Dans le potentiel figure 1b, qui reproduit les caractéristiques qualitatives de V(x), nous étudions le mouvement quantique d'une "particule" représentant le mouvement collectif des 3 H, en supposant qu'ils restent dans le même

2. 
$$\sum_{k=1}^{n} k^2 = n(n+1)(2n+1)/6$$

plan. La masse m de la particule est  $3m_H$ .

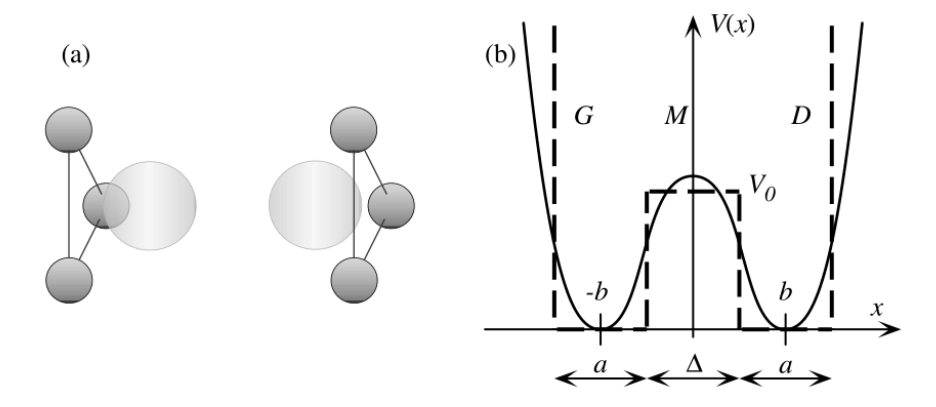


FIGURE 1 – (a) Configurations possibles de la molécule d'ammoniac; (b) Potentiel décrivant le retournement de la molécule (trait plein : réel, pointillés : approximation).  $\Delta = 2b - a$ .

En ce limitant au cas  $E < V_0$  (la "particule" reste dans l'un des deux puits, sans retournement), les fonctions d'onde doivent s'annuler en  $x = \pm (b \pm a/2)$ :

• région G :  $\psi(x) = \pm \lambda \sin[k(b+a/2+x)]$ 

• région M :  $\begin{cases} \psi(x) = \mu \cosh(Kx) & \text{solution symétrique} \\ \psi(x) = \mu \sinh(Kx) & \text{solution antisymétrique} \end{cases}$ 

• région D :  $\psi(x) = \lambda \sin[k(b+a/2-x)]$ 

Avec 
$$K = \hbar^{-1} \sqrt{2m(V_0 - E)}$$
 et  $k = \hbar^{-1} \sqrt{2mE}$ .

La continuité de  $\psi$  et  $\psi'$  impose :

 $\tan(ka) = -\frac{k}{K} \coth[K(b-a/2)]$  pour une solution symétrique  $\psi_S$   $\tan(ka) = -\frac{k}{K} \tanh[K(b-a/2)]$  pour une solution antisymétrique  $\psi_A$ 

Simplification des calculs : On suppose  $E \ll V_0$  (donc  $K \approx \hbar^{-1}\sqrt{2mV_0} \gg k$ ) et  $K\Delta \gg 1$  ( $\Delta = 2b - a$ ).

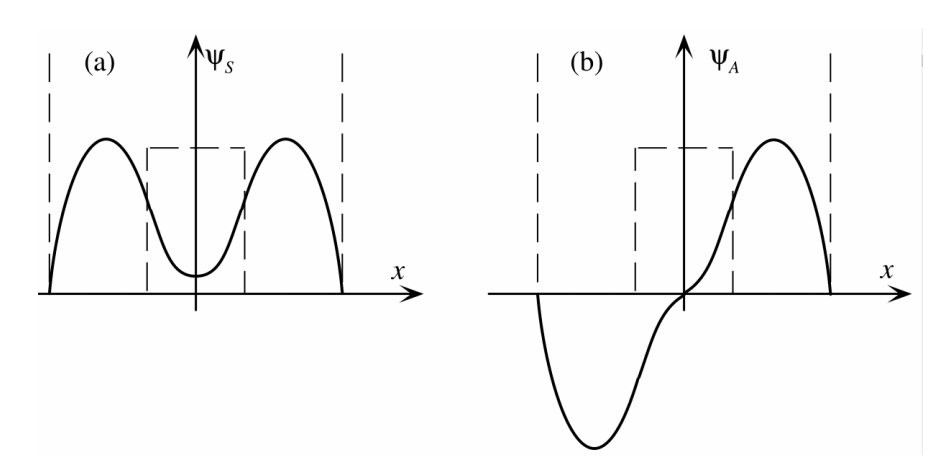


FIGURE 2 – Solution symétrique (a) et antisymétrique (b) de plus basse énergie dans le puits double modélisant la molécule d'ammoniac.

Hypothèses vérifiées pour NH3. Dans ce cas :

$$\tan(ka) \approx -\frac{k}{K}(1 \pm 2e^{-K\Delta})$$

+ correspondant à  $\psi_S$  et - à  $\psi_A$ . Les valeurs possibles de ka sont obtenues par construction graphique : intersection des arcs successifs  $y = \tan(ka)$  avec les deux droites  $y = -\epsilon_{A,S}ka$ . Ces intersections sont situées vers  $ka \sim \pi$ . Avec :

$$\epsilon_{S,A} = \frac{1}{Ka} (1 \pm 2e^{-K\Delta}) \tag{4}$$

Ces valeurs sont proches et telles que  $\epsilon_A < \epsilon_S \ll 1$  car  $ka \sim \pi$ .

Niveaux d'énergie : Soient  $k_S$  et  $k_A$  les deux valeurs, voisines, de k correspondant aux deux premiers états propres  $\psi_S$  et  $\psi_A$  de plus faible énergie.

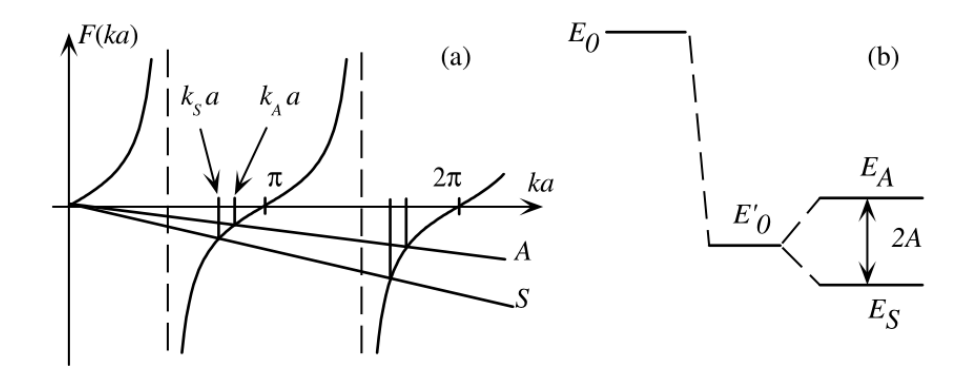


FIGURE 3 – (a) Détermination graphique des niveaux d'énergie dans le double puits; (b) on voit que les deux premiers niveaux d'énergie sont abaissés par rapport à l'énergie du fondamental d'un puits simple G ou D ( $E_0 \to E'_0$ ), et qu'il y a un "clivage tunnel" entre ces deux niveaux ( $E'_0 \to E_A$  et  $E_S$ ).

La construction graphique (figure 3) montre que :

- Les deux quantités  $k_S$  et  $k_A$  sont légèrement inférieures à  $\pi/a$ , valeur du premier nombre d'onde pour le puits G (ou le puits D) de largeur a, supposé infiniment profond.
- La quantité  $k_S$  est légèrement inférieure à  $k_A$ ; par conséquent les énergies respectives des deux niveaux les plus bas :  $E_{S,A} = \hbar^2 k_{S,A}^2/(2m)$  avec  $E_S < E_A$ .

Dans notre approximation:

$$k_S \sim \frac{\pi}{a(1+\epsilon_S)}$$
  $k_A \sim \frac{\pi}{a(1+\epsilon_A)}$ 

On obtient une énergie moyenne :

$$E_0' = \frac{E_A + E_S}{2} = \frac{\pi^2 \hbar^2}{2ma^2} \left( 1 - \frac{2}{Ka} \right)$$

On obtient pour le clivage  $E_A - E_S$  des niveaux d'énergie :

$$E_A - E_S = \frac{\pi^2 \hbar^2}{ma^2} \frac{4e^{-K\Delta}}{Ka} \approx \frac{\pi^2 \hbar^2}{2ma^2} \left( \frac{1}{(1+\epsilon_A)^2} - \frac{1}{(1+\epsilon_S)^2} \right)$$

Les situations représentées en figure 1 sont donc des combinaisons linéaires des états  $\psi_S$  et  $\psi_A$ :

$$\psi_G = \frac{\psi_S - \psi_A}{\sqrt{2}} \qquad \qquad \psi_D = \frac{\psi_S + \psi_A}{\sqrt{2}}$$

La fréquence d'inversion de la molécule est donnée par  $\bar{\omega}=E_A-E_S$  soit à l'émission et l'absorption de photons de fréquence  $\nu\sim 24$  GHz ( $\lambda\sim 1,25$  cm). Cette fréquence constitue une "empreinte digitale" de l'ammoniac. C'est grâce à elle que l'on détecte la présence de cette molécule dans le milieu interstellaire.

## 3.4 Semi-conducteurs

▲ Méca q, Basdevant p.85

Dans les technologies modernes de microélectronique, les potentiels carrés permettent la description d'un électron de conduction qui bouge dans un semi-conducteur comme GaAs : celui-ci "ressent" un potentiel uniforme à l'échelle